

東海大学工学部 正会員 稲田 信徳
 東海大学工学部 正会員 赤石 勝
 東海大学大学院 学生員 張 惠文

- まえがき 従来からせん断時ににおける正規圧密飽和粘土の応力-ひずみ関係およびダイレイタンシー時間効果は、非排水クリープ試験および非排水せん断試験によってそれぞれ別の立場から研究されてきた。最近は段階的に載荷する非排水せん断試験も多く利用されるようになつた。本報告では、主応力を一段階で加え非排水クリープ試験と主応力差を等時間間隔で段階的に載荷する非排水せん断試験を行い、有効応力と軸ひずみの関係を調べ、応力-ひずみ特性に与える時間効果と載荷段階の影響について考察を加えた。
- 正規圧密飽和粘土の応力-ひずみ-時間関係 側圧を一定に保ち主応力差によって非排水状態の円柱供試体に生じる過剰間隙水圧の増分 U_e は次式のように表示することができます。

$$U_e = \frac{1}{3} \sigma_a + D_t \cdot \sigma_a = U_m + U_d \quad \text{--- (1)}$$

ここに、 $U_m = \frac{1}{3} \sigma_a$: 応力の増加とともに瞬間に生じる過剰間隙水圧の増分、 $U_d = D_t \cdot \sigma_a$: 土要素のダイレイタンシーに伴って生じる過剰間隙水圧の増分、 D_t : ダイレイタンシーに関する係数で載荷作用に依存する。一方、供試体の軸ひずみ増分 E_d を式(1)に対応させて次式で示すことができる。

$$E_d = E_i + E_d \quad \text{--- (2)}$$

ここに、 E_i : 即時ひずみで主応力差が増加した瞬間($t=0$)において土要素に生じる弾性的変形に伴う軸ひずみの増分、 E_d : クリープひずみで載荷後土要素に生じるダイレイタンシーの進行とともに増加する塑性的変形に伴う軸ひずみの増分である。以上のように間隙水圧を U_m と U_d に区分し、それぞれの水圧に対応する軸ひずみの量とその変化を調べることによって載荷された土要素の応力-ひずみ-時間関係を検討する。

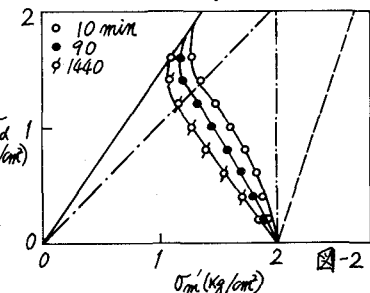
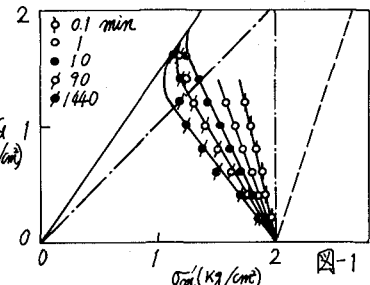
3. 試料および実験方法 本実験に用いた試料は、埼玉県越谷市草加バイパス入口地下20~30mより採取した練返し飽和粘土である。その物理性質は $G_s: 2.67$, $W_L: 74.0\%$, $W_P: 33.0\%$, $I_p: 41$, 粘土分: 59.0%, シルト分: 41%である。試験は、 2.0 kg/cm^2 の圧力で等方圧密した後、非排水クリープ試験および段階載荷せん断試験を行なう。

(I) 非排水クリープ試験 側圧を 2.0 kg/cm^2 に保ち主応力差をそれぞれ 0.2 kg/cm^2 ごとの8段階に変化させて実験を実施した。(II) 段階載荷せん断試験 非排水のもとで一定の主応力差増分 $\Delta \sigma_a = 0.2 \text{ kg/cm}^2$ を等時間間隔 Δt で段階的に載荷する。今回の実験では、載荷の時間間隔 Δt を 10 , 90 , 1440 min の3種類とした。以上の各実験においては、試料および間隙水圧測定系を飽和させたため、 2.0 kg/cm^2 のバックプレッシャーを加えた。

4. 実験結果および考察

4.1 有効応力経路 図-1は非排水クリープ試験結果から描いた有効応力経路で、図中に実線で示した破壊線は通常のせん断試験から得られたものである。鎖線で示した破壊線は上限降伏応力（破壊線における偏差応力の約70%と仮定した）を破壊応力と考えた場合のものである。後者をクリープ破壊線と呼ぶことにする。非排水クリープ試験において載荷後一定時間を経過した時の各段階の有効応力を結んだ線はクリープ破壊線に達するまでは直線を示している。

図-2は段階載荷せん断試験結果を用いて描いた有効応力経路である。載荷時間間隔 Δt が 10 min の場合の経路は曲線を示すが、 Δt が 1440 min



になるとほぼ直線となり、図-1における非排水クリープ試験の1440 minの各段階有効応力を結んだ線とほぼ一致している。

4.2 ダイレイタンシー係数 図-3はダイレイタンシー係数 D_t の経時変化を示したものである。上限降伏応力以内、非排水クリープ試験によって得られたダイレイタンシー係数 D_t は主応力差 σ'_d の大きさに関係なく、時間の対数に対してほぼ直線的に増加する。ところが、段階載荷せん断試験の載荷時間間隔 t_d が小さい場合、ダイレイタンシー係数 D_t の経時変化は非排水クリープ試験とかなり異なるが、載荷時間間隔 t_d が大きくなると(=1440 min)两者の間にその差がほとんど認められない。これらのはせん断速度が大きくなるほど供試体中に発生する間ゲキ水压分布が不均一になることおよびダイレイタンシーによる間ゲキ水压が十分に發揮されないことを示している。

4.3 σ_d ~ E_d 関係 非排水クリープ試験で測定した軸ひずみ E_d が時間とともに大きく変化しているので、軸ひずみ E_d から即時ひずみ E_i とクリープひずみ $E_d - E_i$ を厳密に分離することはきわめて困難である。ところが、段階載荷せん断試験の軸ひずみ E_d は時間に対して増加量が小さいので、ここでは、段階載荷せん断試験における0.1 minまでの軸ひずみを即時ひずみ E_i とした。図-4は段階載荷せん断試験の各段階に生ずる即時ひずみの和を主応力差に対するプロットしたものである。載荷時間間隔 t_d の大きさにかかわらず、上限降伏応力付近までは σ_d ~ E_d に直線性が認められる。この勾配から時間に依存しない変形係数として $E_0 = 400 \text{ kg/cm}^2$ が得られる。図-4には、非排水クリープ試験の載荷後0.1 minの軸ひずみ E_d を即時ひずみ E_i とした場合との主応力差 σ'_d との関係もあわせてプロットした。この関係から、 $E'_0 = 150 \text{ kg/cm}^2$ を得た。非排水クリープ試験の軸ひずみ E_d はクリープひずみ $E_d - E_i$ がかなり生じているため、小目的の変形係数が得られたと思われる。

4.4 U_d ~ E_d 関係 非排水クリープ試験において有効応力がクリープ破壊線に達するまでのクリープひずみ E_d と間ゲキ水圧 U_d の関係を示したのが図-5である。各クリープ荷重における3段階と4段階の測定値はほぼ一つの曲線上に集まっている、その形状は次式で表わすことができる。

$$U_d = E_d / (a + b E_d) \quad (3)$$

なお、非排水クリープ試験の有効応力経路がクリープ破壊線に達するとき U_d ~ E_d 関係はこの曲線からはずれ、クリープひずみ E_d の増加に対する発生水圧 U_d の増加は著しく減少する。一方、図-6に示した段階載荷の場合の U_d ~ E_d 関係を見ると、異なる載荷段階ごとに別の関係が得られ、非排水クリープ試験の U_d ~ E_d 関係との類似性が認められない。これは載荷速度に影響されていると思われる。

5. あとがき 一連の実験によって非排水せん断中の応力-ひずみ-時間関係および載荷段階による影響が知られたが、実験の回数が少ないので、不明な点がまだ多く残されている。今後、供試体の圧密圧力を変えて、非排水および排水条件のもとで実験を実施して研究する予定である。

参考文献：(1)岩崎,橋本,本郷; ある軟弱不搅乱粘土のクリープ試験結果について, 第10回国質工学研究発表会講演集.
(2)山口,三田地,北郷; 粘性土の非排水三軸クリープ特性, 土木学会第31回年次学術講演会講演概要集.

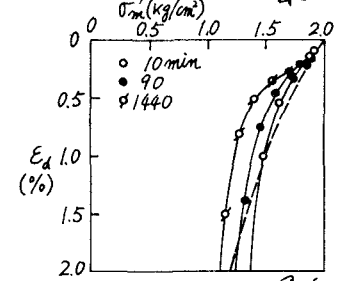
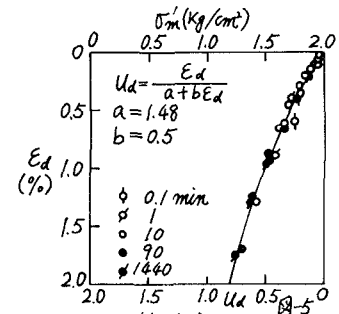
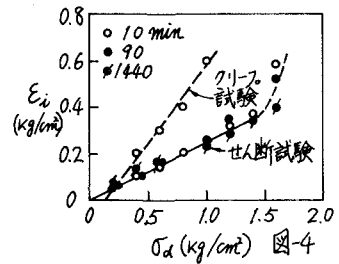
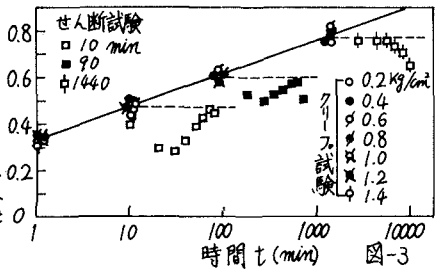


図-6